

С.П. КУРДЮМОВ, Г.Г. МАЛИНЕЦКИЙ, Ю.А. ПОВЕЩЕНКО,
Ю.П. ПОПОВ, академик А.А. САМАРСКИЙ

ВЗАИМОДЕЙСТВИЕ ДИССИПАТИВНЫХ ТЕПЛОВЫХ СТРУКТУР В НЕЛИНЕЙНЫХ СРЕДАХ

1. Многие процессы в нелинейных средах такие, как, например, распространение тепла в среде, коэффициент теплопроводности которой зависит от температуры, диффузия вещества или проникновение магнитного поля в среду с конечной проводимостью, некоторые задачи биологии и т.д. в математическом отношении описываются квазилинейным уравнением параболического типа (¹⁻⁸)

$$(1) \quad \frac{\partial T}{\partial t} = \operatorname{div} (\kappa (T) \operatorname{grad} T) + Q (T):$$

Ниже при исследовании уравнения (1) мы будем рассматривать $T (r, t)$ как температуру среды, $\kappa (T)$ — коэффициент теплопроводности, $Q (T)$ — источник тепла, моделирующий процессы горения в среде. Зависимости $\kappa (T)$, $Q (T)$ нелинейны:

$$(2) \quad \kappa = \kappa_0 T^\sigma, \quad Q = q_0 T^\beta, \quad \kappa_0 > 0, \quad q_0 > 0, \quad \sigma > 0.$$

В работах (²⁻⁸) в одномерном нестационарном приближении было показано, что при $\beta > 1$ эволюция пространственного распределения температуры $T (r, t)$ может происходить в "режиме с обострением", когда температура среды в некоторых точках или областях неограниченно возрастает за конечное время t_f , называемое временем обострения. При $\beta \geq \sigma + 1$ наблюдается явление локализации горения: несмотря на неограниченный рост температуры в некоторой области пространства при $t \rightarrow t_f$, горение среды происходит в конечной области, вне которой температура не изменяется. Можно выделить три типа режимов с обострением: S -режим при $\beta = \sigma + 1$, HS -режим ($\beta < \sigma + 1$), LS -режим ($\beta > \sigma + 1$). В S -режиме область эффективного горения $G_{эф}$ не изменяется на развитой стадии процесса, в LS -режиме $G_{эф}$ сокращается, в HS -режиме $G_{эф}$ растет. $G_{эф}$ — пространственный аналог полуширины распределения, $r \in G_{эф}$, если $T (r, t) \geq 0,5 \max T (r, t)$.

Исследования, проведенные в одномерном, цилиндрически- и сферически-симметричных случаях (^{2,3,9}), показывают, что при $\beta \geq \sigma + 1$ интенсивное горение (т.е. рост температуры идет по закону

$$\max_r T (r, t) \sim (1 - t/t_f)^{-(\beta-1)^{-1}}$$

сопровождается явлением локализации и наблюдается, если область $G_{эф}$ превышает характерную для данной среды область G_f , называемую фундаментальной.

В работах (^{4,5,8}) было показано, что в LS -режиме в одномерном случае возможно горение среды в виде структур, когда профиль температуры $T (r, t)$ остается со временем самоподобным. Этот профиль может быть найден из решения некоторой автомодельной задачи для функции $f (\xi)$ (^{4,5}), к которой приводится (1), и имеет вид

$$T (r, t) = (1 - t/t_f)^{-(\beta-1)^{-1}} f (\xi), \quad \xi = r (1 - t/t_f)^{-0,5(\beta-\sigma-1)(\beta-1)^{-1}}.$$

Различают простые структуры, имеющие один максимум, и сложные, имеющие несколько максимумов. Для реализации горения среды в виде сложных структур требуется с высокой точностью задавать начальный профиль в соответствии с решением автомодельной задачи. Реально начальное распределение всегда

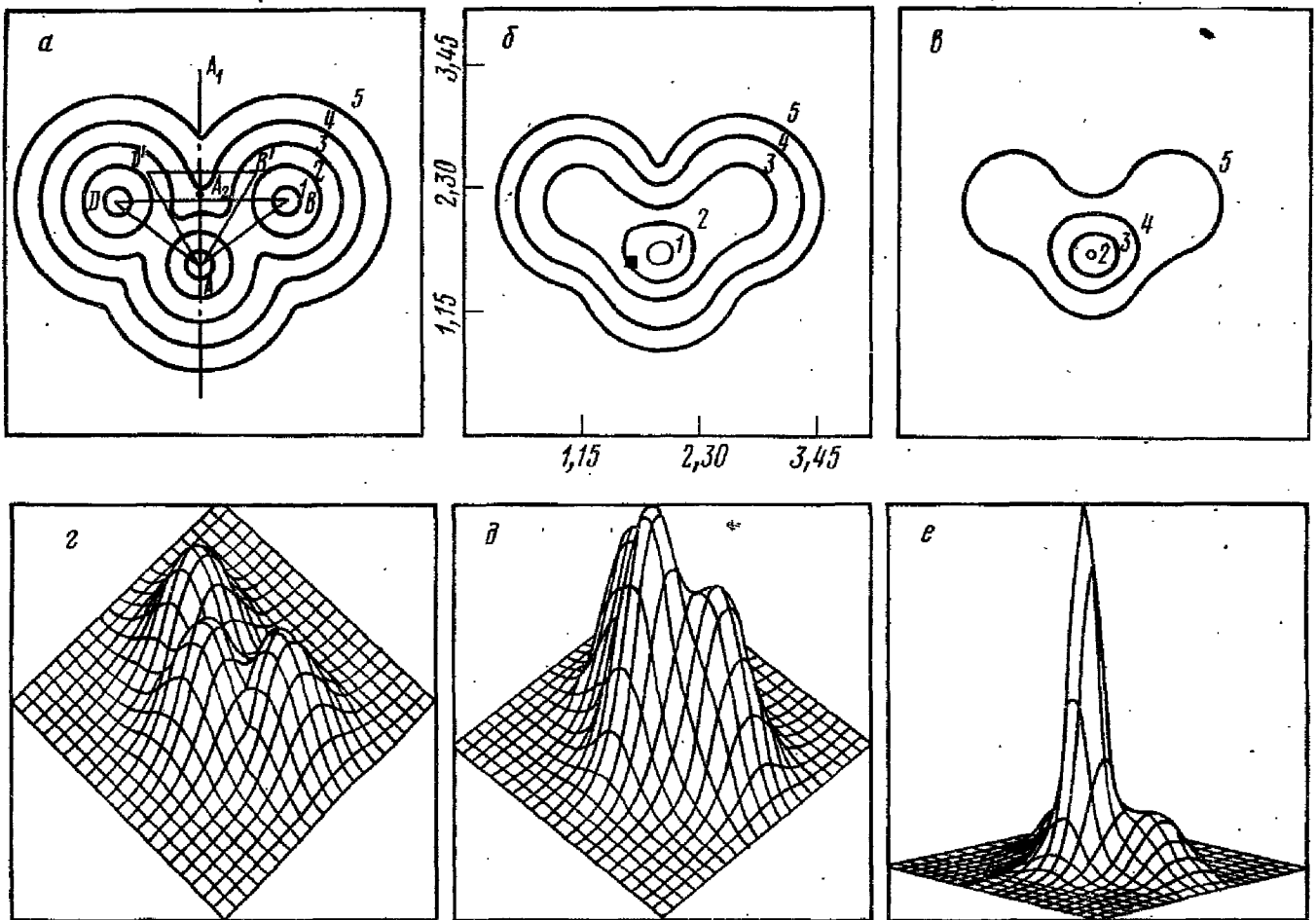


Рис. 1. Эволюция сложной квазиструктуры $T(x, y, 0) = 1,35 \max[\exp(-2,5x^2 - 2,5y^2), \exp(-2,5 \cdot (x + 0,96)^2 - 2,5(y - 0,72)^2)]$, $\angle BAD = 2 \arcsin 0,6$, $\beta = 4,0$, $\sigma = 2,0$, $k_0 = 1,0$, $q_0 = 5,25$. *a* - *в* - линии уровня $T_1 = 0,95 T_M$; $T_2 = 0,75 T_M$; $T_3 = 0,5 T_M$; $T_4 = 0,25 T_M$; $T_5 = 0,1 T_M$, где $T_M = \max(T(r, t))$. *z* - *е* - распределение температуры $T(x, y, t)$. *a, z* соответствуют моменту времени $t = 0,0$; *б, д* - $5,94 \cdot 10^{-2}$, *в, е* - $6,04 \cdot 10^{-2}$

содержит различные возмущения. В работе численно моделируется эволюция многомерных начальных распределений вида

$$T(r, 0) = \max_{i=1,2,\dots,N} [A_i \exp(-k_i(r - r_i)^2)].$$

Решения (1) с одним максимумом, соответствующие исходным данным

$$(3) \quad T(r, 0) = A \exp(-k(r - r_0)^2),$$

будем называть простыми квазиструктурами. Оказывается, при достаточном перекрытии областей G_f , соответствующих простым квазиструктурам, эволюцию профиля можно описать как процесс их взаимодействия. В этом случае профиль $T(r, t)$ естественно называть сложной квазиструктурой (от сложной структуры ее отличают меньшие времена метастабильности и ряд новых свойств, исследуемых ниже).

2. Многомерные численные расчеты проводились по неявной консервативной схеме с использованием пакета прикладных программ ТЕКОН⁽¹¹⁾. Алгоритм содержит итерационный процесс по нелинейности с последующим решением линейной системы алгебраических уравнений, для чего используется двухслойная итерационная схема с чебышевским упорядоченным набором параметров⁽¹⁰⁾. Этот алгоритм является "изотропным" в том смысле, что при его реализации не выделяется какого-либо направления в пространстве. Это особенно важно при численном моделировании режимов с обострением. Дело в том, что малые возмущения, прив-

носимые вычислительным алгоритмом, могут качественно изменить характер решения этих неустойчивых по Ляпунову задач.

3. В двумерных и трехмерных численных экспериментах (см. рис. 1) наблюдалось явление локализации при горении среды в S - и LS -режимах с обострением (исследованы LS -режим, $\beta = 4$, $\sigma = 2$, и S -режим, $\beta = 3$, $\sigma = 2$, параметры k_0 и q_0 варьировались в широком диапазоне).

Можно выделить три стадии процесса горения (¹²).

Первая — стадия перестройки начального профиля. Локальные максимумы остаются неподвижными, в то время как полная энергия квазиструктуры $E = \int_G T dV$ растет по закону, близкому к линейному.

Вторая — стадия динамики. Квазиструктуры эффективно взаимодействуют, что сопровождается движением локальных максимумов температуры к общему центру (см. рис. 1б, д). Длительность и характер взаимодействия определяются величиной пересечения фундаментальных областей простых квазиструктур. При удалении двух простых квазиструктур друг от друга наблюдается увеличение в десятки раз интервала температур, где происходит эффективное взаимодействие, сопровождающееся движением локальных максимумов. Однако этот эффект носит пороговый характер. Начиная с некоторой критической величины пересечения фундаментальных областей простых квазиструктур, происходит независимое развитие различных частей температурного профиля и формирование двух простых структур. Наблюдаемая картина связана с конкуренцией процесса "затекания" на общий центр и сокращения области $G_{эф}$ в LS -режиме.

На третьей — асимптотической — стадии в области $G_{эф}$ сложная квазиструктура вырождается в несколько невзаимодействующих простых структур. При этом в LS -режиме вне $G_{эф}$ формируется часть температурного распределения, практически не меняющаяся до t_f . Эта часть может иметь сложную пространственную форму (см. рис. 1в, е).

4. Сопоставим особенности явления локализации горения в многомерном случае с результатами одномерных расчетов. Как известно, на асимптотической стадии процесса горения в одномерном случае начальные данные не влияют на область $G_{эф}$ и форму профиля температур, близкую к автомоделной задаче (⁴), а определяют только время обострения t_f . В многомерном случае также существуют цилиндрически- и сферически-симметричные автомоделные решения, определяющие цилиндрически- и сферически-симметричную фундаментальную область. Однако оказывается, что параметры начального распределения в многомерном случае влияют не только на величину t_f , но и на эволюцию области $G_{эф}$ на развитой стадии.

Проведенный расчет LS -режима в двумерном случае ($\beta = 4$, $\sigma = 2$, $k_0 = 1,0$, $q_0 = 5,25$, $A_1 = A_2 = 1,35$, $k_1 = k_2 = 2,5$, $|r_1 - r_2| = 1,2$) показал, что после взаимодействия квазиструктур область $G_{эф}$ приобретает форму эллипса и сохраняет ее при росте температуры более чем в 100 раз. Несмотря на сокращение обеих полуосей эллипса симметризация и изменение его эксцентриситета происходят медленно по сравнению с ростом температуры. Это связано с тем, что для направлений, где диаметр $G_{эф}$ минимален, рост температуры в периферийной области идет в основном за счет подтока тепла из центральных областей.

В S -режиме ($\beta = 3$, $\sigma = 2$, $k_0 = 1,0$, $q_0 = 5,25$, $A_1 = A_2 = 1,35$, $k_1 = k_2 = 2,5$, $|r_1 - r_2| = 1,2$) после взаимодействия двух простых квазиструктур область $G_{эф}$ также приобретает форму эллипса. При этом происходит эффективная локализация горения по одному направлению и растекание тепла по другому, что позволяет говорить о векторном характере локализации процесса горения.

5. Для изучения влияния пространственной симметрии на характер взаимодействия квазиструктур рассмотрим два численных эксперимента. Ограничимся случаем трех одинаковых простых квазиструктур в LS -режиме в двумерном случае.

В первом эксперименте квазиструктуры в начальный момент расположены так, как это показано на рис. 1а,г ($\triangle ABD$). После стадии динамики, во время которой происходит движение абсолютного максимума температуры по AA_2 (см. рис. 1б,д), интенсивное горение наблюдается в сокращающейся области вблизи физически выделенной квазиструктуры A (см. рис. 1в,е).

Рассмотрим теперь случай симметричного начального распределения, когда выделенной квазиструктуры нет. Разместим три квазиструктуры с теми же параметрами, что и в первом эксперименте, так, чтобы их максимумы были расположены в вершинах равностороннего треугольника $AB'D'$ (см. рис. 1а). При численном моделировании этой ситуации наблюдается движение локальных максимумов простых квазиструктур A, B', D' до слияния в точке A_2 , центре симметрии. По сравнению с предыдущим экспериментом продолжительность стадии динамики возрастает в 2,3–2,35 раза, а время обострения в 1,45 раза.

Обратим внимание на то, что время обострения во втором эксперименте увеличивается, хотя большая энергия при этом сосредоточена в меньшем пространстве, чем в случае треугольника ABD . Отсюда видно, что пространственная симметрия увеличивает стабильность сложной квазиструктуры.

Институт прикладной математики им. М.В. Келдыша
Академии наук СССР, Москва

Поступило
10 XII 1979

ЛИТЕРАТУРА

- ¹ А.А. Самарский, Ю.П. Попов, Разностные схемы газовой динамики, М., "Наука", 1974.
- ² Н.В. Змитренко, С.П. Курдюмов и др., Препринт ИПМ АН СССР, № 74, 1976. ³ А.А. Самарский, Н.В. Змитренко и др., ДАН, т. 227, № 2, 321 (1976).
- ⁴ Г.Г. Еленин, С.П. Курдюмов, Препринт ИПМ АН СССР, № 106, 1977. ⁵ А.А. Самарский, Г.Г. Еленин и др., ДАН, т. 237, № 6, 1330 (1977).
- ⁶ С.П. Курдюмов, Н.В. Змитренко, Журн. прикл. мех. и техн. физ., № 1 (1977).
- ⁷ Н.В. Змитренко, С.П. Курдюмов и др., Письма ЖЭТФ, т. 26, в. 9 (1977).
- ⁸ С.П. Курдюмов, Препринт ИПМ АН СССР, № 29, 1979. ⁹ С.П. Курдюмов, Е.С. Куркина, Г.Г. Малинецкий, Препринт ИПМ АН СССР, № 16, 1979.
- ¹⁰ А.А. Самарский, Введение в теорию разностных схем, М., "Наука", 1974. ¹¹ Ю.А. Повещенко, Ю.П. Попов, Препринт ИПМ АН СССР, № 65, 1978.
- ¹² С.П. Курдюмов, Г.Г. Малинецкий и др., Препринт ИПМ АН СССР, № 77, 1978.
- ¹³ А.А. Самарский, Н.В. Змитренко и др., ДАН, т. 223, № 6, 1344 (1975).